

مقایسه تحریک تولید سیتوکین های التهابی به وسیله شیگا توکسین نوترکیب و سویه استاندارد تولید

کننده شیگا توکسین

مانا علومی^{۱*}، سعید بوذری^۲، فاطمه عابدی جعفری^۳

(۱) دکتری فرآورده های بیولوژیک - استادیار بخش بیولوژی مولکولی، انسیتو پاستور ایران

(۲) دکتری میکروبیولوژی - استاد بخش بیولوژی مولکولی، انسیتو پاستور ایران

(۳) کارشناس ارشد میکروبیولوژی دانشگاه آزاد اسلامی، واحد علوم تحقیقات

نویسنده رابط: مانا علومی، بخش بیولوژی مولکولی، انسیتو پاستور ایران

تلفن تماس: ۰۲۰-۲۱۶۶۹۵۳۳۱۱، پست الکترونیک: manaoloomi@yahoo.com

چکیده:

زمینه و اهداف: شیگا توکسین (Stx) توسط Shiga Toxicogenic *Escherichia coli* (STEC) تولید شده و می تواند سندرم همولیتیک اورمیک را ایجاد نماید. Stx تکثیرسلولی را مهار ساخته و باعث آسیب به سلول های اندوتیال و بیان گیرنده Gb3-cer در سلولها می شود. اثر شیگا توکسین بر سلولهای اپی تیال کاملاً شناخته نشده است. هدف این مطالعه بررسی اثر تحریکی شیگا توکسین نوترکیب در بیان سیتوکاین های التهابی در سلول های اپیتیال و منوسیتی می باشد.

روش بررسی: در این مطالعه تحریک تولید سیتوکین های التهابی به وسیله شیگا توکسین نوترکیب و عصاره سلولی تولید کننده شیگا توکسین طبیعی مورد بررسی قرار گرفت. برای این منظور ۱۰ سلول در پلیت های شش خانه کشت داده شدند و غلظت های متفاوت از عصاره سلولی سویه استاندارد و شیگا توکسین نو ترکیب به هر خانه اضافه شد. ابتدا کل RNA استخراج گردید و سپس به وسیله روش RT-PCR برای شناسایی سایتوکاینهای TNFα، IL-1β، IL-1α، IL-8 و mRNA توانایی افراطی ایجاد شد.

یافته ها: توانایی افراطی mRNA، IL-1α و IL-8 توسط شیگا توکسین با اثر بر روی دو رده سلولی HeLa و THP-1 نشان داده شد و TNF α با اثر شیگا توکسین نوترکیب تولید شد.

نتیجه گیری: به طور کلی نتایج به دست آمده نشان دهنده تفاوت سلول های مختلف در پاسخ به اثر شیگا توکسین در تحریک تولید سیتوکینها و تولید سیگنال های متفاوت است.

کلید واژه ها: شیگا توکسین، آپوپتوز، سیتوکاین های التهابی، HeLa، THP-1

مقدمه :

منجر به افزایش بیان **Bax** (واسطه آپوپتوز) می شود، که از خانواده **BCL-2/Bax** بوده و در غشای بیرونی میتوکندری قرار دارند (۹).

اثرات مستقیم روی سلول های پلی مورفونوکلئر دارد و شواهدی وجود دارد که اریتروسیت ها و پلاکت ها هم گیرنده هایی برای **Stx** دارند. سلول هایی مانند مونوسیت خون محیطی انسان و رده های سلولی مونوسیتی انسانی **Stx** میزان گیرنده **Gb₃** کمی دارند و به عمل کشندگی **Stx** نسبتاً مقاومتر می باشند، اما با ترشح و تولید سایتوکاین های پیش التهابی به تحریک توکسین پاسخ می دهند (۱۰).

اگرچه تا مدت زیادی عمل شیگاتوکسین را در ایجاد بیماری سندروم اورمی همولایتیک تنها اختلال در پروتئین سازی می دانستند، اما امروزه کاملاً مشخص شده است که این توکسین ها بسیاری از آبشارهای سیگنانلینگ را ایجاد می کنند که باعث ایجاد سایر وظایف سلولی مثل تولید و ترشح سایتوکاین ها و ایجاد فرایند آپوپتوز در سلول ها می شود (۱۱).

هدف این مطالعه بررسی اثر تحریکی شیگا توکسین نوترکیب در تولید سایتوکاین ها در سلولهای اپیتلیال و سلولهای منوسیتی و مقایسه اثر آنها با عصاره سلولی حاصل از باکتری تولید کننده این توکسین می باشد.

روش بررسی:

تخلیص عصاره سلولی سویه استاندارد ۰۱۵۷ تولید کننده شیگاتوکسین

برای این منظور سوش ۰۱۵۷ *Escherichia coli* (تهیه شده از کلکسیون موجود در بخش بیولوژی ملکولی) در ۵۰ میلی لیتر LB مایع به مدت ۲۴ ساعت در ۳۷ درجه سانتی گراد کشت داده شد و با کمک دستگاه سونیکاتور ۵ بار هر بار ۱۰ ثانیه دیواره ی سلولی تخریب شد. سانترفیوژ با دور ۶۰۰۰ RPM به مدت ۱۰ دقیقه انجام شده و مایع رویی که حاوی توکسین بود جمع آوری شد و به منظور استریزاسیون

شیگا توکسین (stx) به وسیله اشریشیا کلی انترو هموراژیک (EHEC) تولید شده و می تواند سندرم اورمیک همولایتیک (HUS) Hemolytic-uremic syndrome را ایجاد کند(۱). **stx** شامل یک زیر واحد A و ۵ زیر واحد B است که به صورت پتامر هستند (۲). زیر واحد B مسئولیت اتصال به رسپتور **Globotriaosylceramid (Gb3-cer)** به رسپتور (Gb3-cer) را داشته (۳) و زیر واحد A فعالیت N-گلیکوزیدازی دارد که از طریق برداشت یک آدنین از 28sRNA ۴۳۲۴ از زیر واحد S ۶۰ ریبوزوم در سلولهای یو کاربوبیوتیک سبب مهار سنتز پروتئین می شود و نتیجه آن مرگ سلول ها است(۴). زیر واحد A از نظر **Proteolytically** به یک پپتید 28KD (A1) و یک پپتید (A2) تقسیم می شود. این پپتید ها به وسیله یک باند دی سولفیدی به هم متصل باقی می مانند. به نظر می رسد شیگا توکسین توکسیسیتی را از طریق مرگ برنامه ریزی شده سلول یا آپوپتوزیس در برخی سلول ها ایجاد می کند.

اثر شیگا توکسین بر رده های سلولی در تولید آپوپتوز بررسی شده است، برای مثال در سلول Vero (۵) و دربورکیت لیمفوما(۶) و سلول های مشتق شده از اپیتلیال توبولارکلیه (۷) و آستروسیتوما (۸) در تحریک شیگا توکسین آپوپتوز را القا می کنند. در حالی که در سلول های همچون T84، رده سلولی اپیتلیوم روده انسان که قادر به تحریک شیگا توکسین هستند، نشان داده شده است که توسط شیگا توکسین در محیط کشت کشته نمی شوند.

گرچه مکانیزم دقیق القا آپوپتوز به وسیله شیگا توکسین هنوز ناشناخته است، اما نشان داده شده است که نوع سیگنان های آپوپتوز در سلول های مختلف متفاوت است. سلول های HeLa که تحت تاثیر زیر واحد B شیگا توکسین قرار گرفته اند آپوپتوز را به وسیله فعل کردن کاسپاز ۱ و ۳ القا کرده اما ژن زیر واحد A شیگا توکسین نکروزیس را القا می نماید (۶). اثر شیگا توکسین ۱ و ۲ در سلول های Hep-2

رده سلولی HeLa و THP-1 در محیط کشت غنی RPMI ۳۷ در دمای ۲۰ تا ۱۰ درصد (Gibco-BRL) FBS در دمای ۳۷ درجه سانتی گراد و رطوبت حاوی ۰.۵٪ دی اکسید کربن کشت داده شدند.

بررسی RNA

عصاره سلولی به دست آمده از سویه استاندارد و شیگا توکسین نوترکیب بر سلول های HeLa و THP-1 اثر داده شد. برای این هدف 10^6 سلول در پلیت های شش خانه کشت داده شدند و حجم های متفاوت (بر اساس توکسیسیتی محاسبه شده (LD₅₀)) روی سلولها از عصاره سلولی و شیگا توکسین نوترکیب به هر خانه اضافه شده و خانه اول به عنوان کنترل در نظر گرفته شد. سپس سلول ها پس از ۲۴ ساعت انکوباسیون ، تریپسینه و جمع آوری شدند. ابتدا کل RNA با استفاده از کیت اختصاصی (TakaRa RT kit) استخراج شد. RNA بدست آمده بوسیله روش PCR برای شناسایی IL-1 α ، IL-1 β ، IL-8، TNF- α با استفاده از پرایمر های اختصاصی (جدول ۱) مورد استفاده قرار گرفت.

از فیلتر (Schleicher&schuell) یکبار مصرف استفاده گردید (۱۲).

تخلیص شیگا توکسین نوترکیب

تخلیص شیگا توکسین نوترکیب از طریق وکتور pBAD که زن AB5 در آن کلون شده بود(۱۲) انجام شد بدین منظور تولید پروتئین تحریک شده به این ترتیب که کلون مورد نظر در 37°C کشت داده شده سپس OD آن در ۶۰۰ nm اندازه گیری شد (OD=۰.۵۰۲). با اضافه کردن $500\text{ }\mu\text{l}$ آراینوز ۰.۲٪ که بهترین غلاظت برای بیان زن AB5 در وکتور pBAD می باشد(۱۲) القا گشته و به مدت ۴ ساعت در شیکر انکوباتور 37°C درجه سانتی گراد قرار داده شد. پس از انجام PBS ۵ mL سانتریفیوژ و رسوب (pellet) حاصله با $1\text{ x}(\text{pH}=7.4)$ در $500\text{ }\mu\text{l}$ میکسین B حل شد. سپس گشته و رسوب رویی جمع شد و غلاظت پروتئین به روش Bradford (Bradford) در طول موج ۶۰۰nm تخمین زده شد.

جهت اطمینان از تولید توکسین با روش های الایزا (با استفاده از کیت (r-biopharm) نیز بررسی شدند.

کشت سلولی

جدول ۱- پرایمر های مورد استفاده در این مطالعه

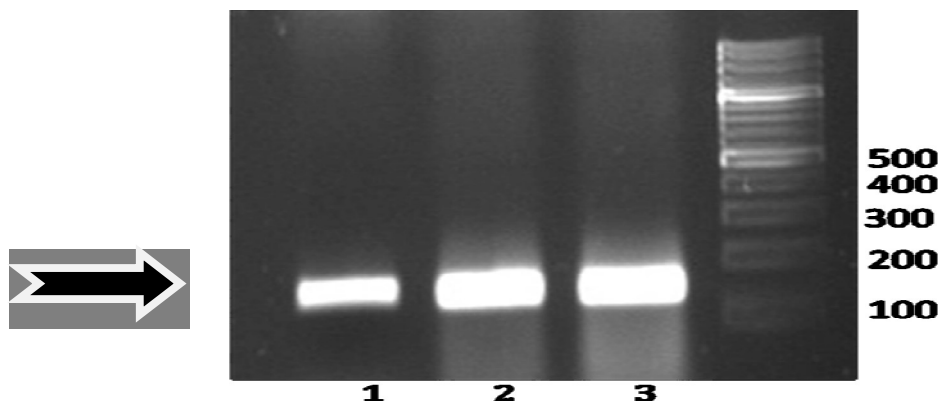
ردیف	نام سایتوکاین	سکانس پرایمر	اندازه	منبع
۱	GAPDHf	5'-GGT CGG AGT CAA CGG ATT TG-3'	۱۵۰ bp	۱۳
۲	GAPDHR	5'-ATG AGC CCC AGC CTT CTC CAT-3'		
۳	IL-1 α f	5'-CAG TGC TGC TGA AGG AGA TG-3'	۱۲۲ bp	۸
۴	IL-1 α r	5'-AAG TTT GGA TGG GCA ACT GA-3-		
۵	IL-8f	5'-GTG TGA AGG TGC AGT TTT GC-3'	۱۲۶ bp	۸
۶	IL-8r	5'-GCA GTG TGG TCC ACT CTC AA-3'		
۷	IL-1 β f	'5'-CAG TGG CAA TGA GGA TGA CT-3'	۱۱۶ bp	۸
۸	IL-1 β r	5'-TCG GAG ATT CGT AGC TGG AT-3'		
۹	TNF- α F	'5'-TCA GAT CAT CTT CTC GAA CC-3'	۳۵۸ bp	۱۴
۱۰	TNF- α R	5'-CAG ATA GAT GGG CTC ATA CC-3'		

یافته ها:

نمونه ها با انجام RT-PCR با پرایمر GAPDH صورت

گرفت که در شکل ۱ مشاهده می گردد.

ابتدا بررسی حضور یا عدم حضور و میزان mRNA در

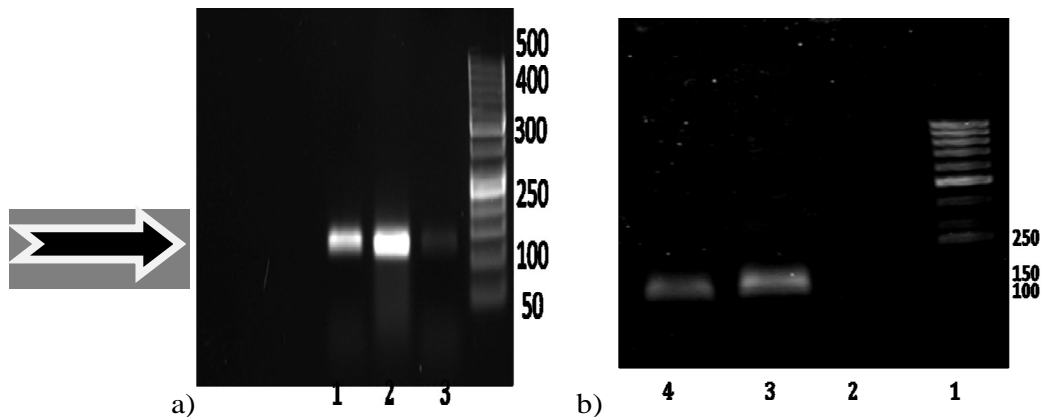


شکل ۱- تکثیر ژن GAPDH

- ۱) رده ای سلولی تیمار شده با سوش ۰۱۵۷، *Escherichia coli* ۰۱۵۷
۲) رده ای سلولی تیمار شده با شیگا توکسین نوترکیب (AB5)
۳) رده ای سلولی (کنترل)

تعیین گردید. پس از همسان سازی، به کمک پرایمر های سیتو کاین ها حضور یا عدم حضور سیتو کاین ها بررسی شد. RT-PCR جهت شناسایی IL-1 α انجام شد و نتیجه آن در شکل (۲) نشان داده شده است.

همان طور که در شکل ۱ مشاهده می شود سایز GAPDH ۱۵۰ bp برابر است. سپس همسان سازی شدت باند ها، نمونه های کنترل و شیگا توکسین نوترکیب و عصاره سلولی انجام شد. این همسان سازی از طریق برنامه Labwork با اندازه مشخص مارکر، میزان شدت باند ها



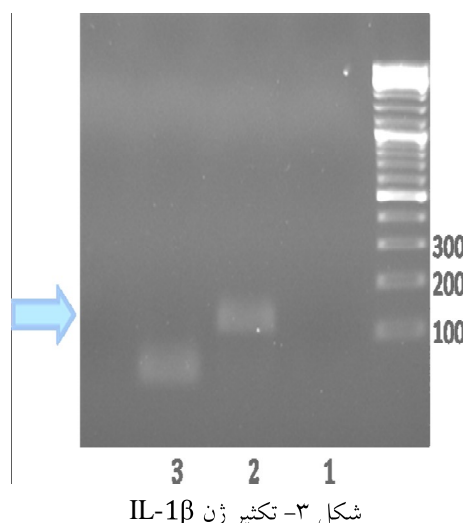
شکل ۲- تکثیر ژن IL-1 α

(a) ۱) رده ای سلولی HeLa تیمار شده با سوش ۲) رده ای سلولی *Escherichia coli* O157 تیمار شده با شیگا توکسین نوترکیب (AB5) ۳) رده ای سلولی HeLa (کنترل)

(b) ۱) ۵۰ bp مارکر وزن مولکولی، ۲) رده ای سلولی THP-1 (کنترل)، ۳) رده ای سلولی THP-1 (تیمار شده با شیگا توکسین نوترکیب (AB5))، ۴) رده ای سلولی THP-1 (تیمار شده با سوش

Escherichia coli O157) در درجه سلولی و THP-1 در برابر شیگا توکسین AB5 و سوش *Escherichia coli* O157 سایز RT-PCR برابر ۱۲۳ bp است که در رده سلولی و THP-1 در برابر شیگا توکسین AB5 و سوش *Escherichia coli* O157 این سیتوکاین را تولید می کند.

RT-PCR جهت شناسایی IL-1 β انجام شد و در مورد سلولهای HeLa سیتوکین فوق مشاهده نشد در حالیکه نتایج در سلولهای THP-1 در شکل (۳) نشان داده شده است.

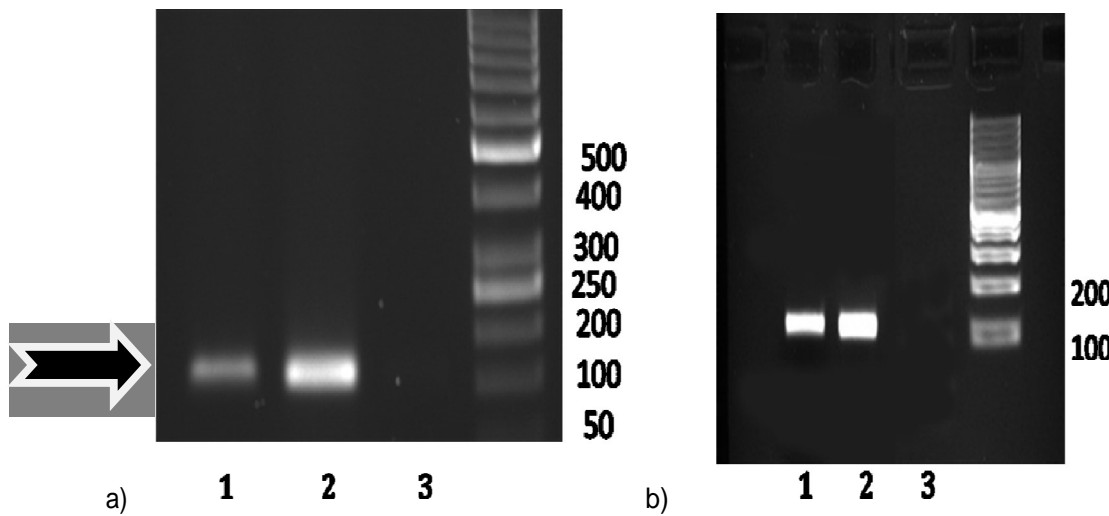


شکل ۳- تکثیر ژن IL-1 β

۱) رده ای سلولی THP-1 (کنترل)، ۲) رده ای سلولی THP-1 (تیمار شده با شیگا توکسین نوترکیب (AB5))، ۳) رده ای سلولی THP-1 (تیمار شده با سوش

Escherichia coli O157) همانطور که در شکل مشاهده می شود اندازه IL-1 β ۱۱۶ bp بوده و در اثر تحریک با شیگا توکسین نوترکیب توانایی تولید این سیتوکین در رده سلولی THP-1 وجود دارد.

جهت شناسایی IL-8 RT-PCR انجام شد و نتیجه آن در شکل (۴) نشان داده شده است.



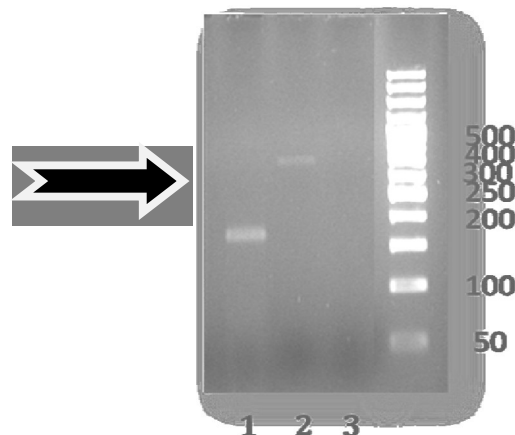
شکل ۴- تکثیر ژن IL-8

(a) ۵۰ bp مارکر وزن مولکولی، ۱) رده ی سلولی HeLa تیمار شده با سوش *Escherichia coli* O157 (۲) رده ی سلولی HeLa تیمار شده با شیگا توکسین نوترکیب (AB5) (۳) رده ی سلولی HeLa (کنترل)

(b) ۱) رده سلولی THP-1 تیمار شده با سوش *Escherichia coli* O157 (۲) رده ی سلولی THP-1 تیمار شده با شیگا توکسین نوترکیب (AB5) (۳) رده ی سلولی THP-1 (کنترل)

در شکل ۴ مشاهده می شود که تکثیر ژن IL-8 با اندازه ۱۲۶ bp در هر دو رده سلولی دیده می شود.

جهت شناسایی TNF- α RT-PCR انجام شد و نتیجه آن در شکل (۵) نشان داده شده است.



شکل ۵- تکثیر ژن TNF- α

(۱) رده ی سلولی HeLa تیمار شده با سوش *Escherichia coli* O157 (۲) رده ی سلولی HeLa تیمار شده با شیگا توکسین نوترکیب (AB5) (۳) رده ی سلولی HeLa (کنترل)

از طرف دیگر بیان این سیتوکین در سلولهای THP-1 مشاهده نشد.

جهت بررسی دقیق تر نتایج به دست آمده از RT-PCR سیتوکاین ها نتایج به صورت خلاصه در جدول شماره (۲) آورده شده است.

همان طور که در شکل ۵ مشاهده می شود سایز α TNF ۳۵۸ bp است. که رده سلولی HeLa در برابر شیگاتوکسین AB5 و سوش *Escherichia coli* O157 توانایی تولید این سیتوکاین را دارد تنها شیگاتوکسین AB5 توانایی تولید این سیتوکاین را دارد

جدول ۲- تولید سیتوکینها توسط دو سلول HeLa و THP-1

سیتوکاین	ردہ سلولی	کنترل	AB 5	O157
GAPDH	HeLa	+	+	+
	THP-1	+	+	+
IL-1 α	HeLa	-	+	+
	THP-1	-	+	+
IL-1 β	HeLa	-	-	-
	THP-1	-	+	-
TNF α	HeLa	-	+	-
	THP-1	-	-	-
IL-8	HeLa	-	+	+
	THP-1	-	+	+

همانطوریکه در جدول شماره ۲ نشان داده شده است سیتوکینهای IL-1 α و IL-8 توسط هر دو سلول HeLa و THP-1 تولید می شود در حالیکه در مورد سیتوکین IL-1 β THP-1 توسط سلول TNF α سیتوکین تولید سلول HeLa و تحت اثر شیگاتوکسین نوترکیب ایجاد می شود.

سلولی اپیتلیالی (HeLa) و منوسيتی (THP-1)، توانایی القا mRNA، سیتوکینهایی مانند IL-1 ، IL-8 و TNF به عنوان سیتوکاین پیش التهابی مورد بررسی قرار گرفت. در این بررسی تولید سیتوکینهای IL-1 α و IL-8 در هر دو رده سلولی مشاهده شد. تولید سیتوکین IL-8 با افزایش بیان mRNA این سیتوکین در رده سلولی اپیتلیالی سرطان کولون با تحریک سوش وحشی EHEC نیز در بررسیهای قبلی نشان داده شده بود (۱۵). در مطالعه فوق تولید این سیتوکین

بحث:

اشریشیا کلی تولید کننده شیگا توکسین به عنوان یکی از مشکلات بهداشتی، حتی در کشور های توسعه یافته نیز مطرح می باشد. به همین علت نیز مطالعات گسترده در این زمینه رو به افزایش است. به خصوص این که، این توکسین علاوه بر اسهال، سبب نارسایی کلیه در اطفال نیز می گردد (۴).

در این مطالعه با اثر شیگا توکسین نوترکیب و عصاره سلولی حاصل از سویه استاندارد تولید کننده شیگاتوکسین بر دو رده

با توکسین تحریک می شوند (۱۷). نحوه بیان سیتوکینها می تواند بر اساس نوع سلول متفاوت بوده و در نتیجه نوع پاسخ متفاوتی ایجاد کند.

به طور کلی نتایج به دست آمده نشان دهنده تفاوت سلول های مختلف در پاسخ به اثر شیگا توکسین در تحریک تولید سیتوکینها و تولید سیگنال های متفاوت است. مسیرهای سیگنالینگ در اثر تحریک با شیگا توکسین در سلول HeLa ، ایجاد می شوند (۱۸) که بررسی بیشتر نوع مسیر سیگنالینگ ایجاد شده درجهت تولید سیتوکینها و مولکولهای آپوپتوز می تواند راه گشای استفاده از این توکسین در درمان و موارد کاربرد دیگر این توکسین باشد. از طرف دیگر سلولهای مختلف در اثر تحریک با شیگاتوکسین قادر به تولید سیتوکینهای متفاوت بوده که نیاز به بررسیهای بیشتر دارد.

نتیجه گیری:

در این بررسی نشان داده شد که اثر شیگاتوکسین نوترکیب بر روی سلولها تنها سیتو توکسیستی و کشنده نبوده بلکه می تواند سیگنال متفاوتی جهت تولید سیتوکینها می متفاوت ایجاد نماید. برای مثال سلول با منشاء اپیتلیالی حساس به توکسین می باشد اما با مقادیر کم توکسین می تواند تولید سیتوکین نماید. تفاوت سیگنالها نیز می تواند نسبت به نوع سلول و مقادیر توکسین اثرات متفاوت مانند کشنده و یا تولید سیتوکینهای التهابی بطور همزمان باشد. مطالعه بیشتر و دقیق تر بر روی سلولها با منشاء و حساسیت متفاوت می تواند به شناسایی دقیقتر عملکرد توکسین و در نهایت کاربرد این توکسین در جهت درمان کمک نماید.

و همچنین سیتوکین IL-1 α توسط دو رده سلولی اپیتلیالی و منوسیتی نشان داده شد.

در این بررسی سلولهای HeLa تنها تولید سیتوکین TNF- α را با اثر شیگا توکسین نوترکیب نشان دادند. از طرف دیگر تولید سیتوکین IL-1 β نیز تنها در سلولهای THP-1 و تحت اثر شیگا توکسین نوترکیب تولید شد. TNF- α و IL-1 β سایتوکاین های مهم القاء Gb3 برای Stx هستند که حساسیت سلول های مختلف را نسبت به این توکسین افزایش می دهند. Dong و همکارانش در سال ۲۰۰۶ نیز با اثر دادن شیگاتوکسین بیان TNF- α در سطح mRNA را گزارش دادند (۱۶).

به طور کلی به نظر می رسد عملکرد دو سلول اپیتلیالی و منوسیتی در برابر شیگا توکسین نوترکیب و عصاره سلولی mRNA سویه تولید کننده این توکسین در رونویسی سیتوکاین های پیش التهابی مانند IL-1 α و IL-8 مشابه عمل میکند. به عبارتی دیگر عصاره (extract) سلولی Escherichia coli O157 اثری روی سلول به جا می گذارد که مشابه اثر stx نوترکیب در تحریک تولید سیتوکین می باشد.

در این بررسی با مقایسه سویه استاندارد تولید کننده شیگا توکسین و شیگا توکسین نوترکیب نشان داده شد که این توکسین به تنهایی قادر به تولید TNF- α در سلولهای اپیتلیال مانند سلول HeLa می باشد در حالیکه عصاره سلولی حاوی شیگا توکسین و سایر اندو توکسینها، قادر به انجام آن نیست.

تولید سیتوکین IL-1 β نیز تنها در سلولهای THP-1 با منشاء منوسیتی مشاهده گردید. سلولهای اپیتلیالی اولین محل برخورد با توکسین بوده در حالیکه منوسیتها در مرحله بعدی

فهرست مراجع:

1. Karmali MA. Infection by verotoxin – producing *Escherichia coli*. *Clin Microbiol Res.* 1989; **2**(1):15-38
2. Sandvig k, Van DB. Membrane traffic exploited by protein toxins. *Annu Rev Cell Dev Biol* 2002; **18**: 1-24.

3. Obrig TG. Shiga toxin mode of action in *E. coli* 0157: H7 disease. *Front Biosei*. 1997; **15**(2): d635-42
4. Acheson DW, Levine MM, Kaper JB, Keus GT. Protective immunity to shiga – like toxin 1 following oral immunization with shiga – kile toxin 1B – subunit producing vibrio cholerae. *Infect Immun*. 1996; **64**(1): 355-7.
5. Inward CD, Williams J, Chant I, et al. Verocytotoxin-1 induces apoptosis in Vero cells. *J Infect*. 1995; **30**(3):213–8
6. Arab S, Lingwood CA. Intracellular targeting of the endoplasmic reticulum/nuclear envelope by retrograde transport may determine cell hypersensitivity to verotoxin via globotriaosyl ceramide fatty acid isoform traffic. *J Cell Physiol*. 1998; **177**(4):646–60
7. Taguchi T, Uchida H, Kiyokawa N, Mori T, Sato N, Horie H, et al. Verotoxins induce apoptosis in human renal tubular epithelium derived cells. *Kidney Int*. 1998; **53**(6):1681–8
8. Harrington SM, Strauman MC, Abe CM, Nataro JP. Aggregative adherence fimbrias contribute to the inflammatory response of epithelial cells infected with enteroaggregative *Escherichia coli*. *Cellular microbiology*. 2005; **7**(11): 1565 – 78
9. Jones NL, Islur A, Haq M, Mascarenh R, Mohamed A, Karmali P, et al. *Escherichia coli* Shiga toxins induce apoptosis in epithelial cells that is regulated by the Bcl-2 family. *Am J Physiol Gastrointest Liver Physiol*. 2000; **278**(5): G811-9
10. Meyers KE, Kaplan BS. Many cell Type are shiga toxin targets. *Kidney Int*. 2000; **57**(6): 2350-9
11. Johannes L, Romer W. Shiga toxins-from cell biology to biomedical applications. *Nature reviews microbiology*. 2010; **8**(2): 105-16
12. Oloomi M, Bouzari S, Arshadi M. N-terminus leader sequence of Shiga toxin (Stx) 1 is essential for production of active recombinant protein in *E. coli*. *Protein Pept Lett* 2006; **13**(5):509–512
13. Fabisiewicz A, Kulik J, Kober P, Brewczynska E, Pienkowski T, Siedlecki AJ. Detection of circulating breast cancer cells in peripheral blood by a two-marker reverse transcriptase polymerase chain reaction assay. *Act biochimica polonica*. 2004; **51** (3): 747-55
14. Ulloa L, Tracey KJ. The cytokine profile: a code for sepsis. *Trends mol med*. 2005; **11**(2): 56-63
15. Hauf N, Chakraborty T. Suppression of NF-κB Activation and Proinflammatory Cytokine Expression by Shiga Toxin-Producing *Escherichia coli*. *The Journal of Immunology*. 2003; **170** (4): 2074-82
16. Moon DO, Jin CY, Lee JD, Choi YH, Ahn SC, Lee CM, et al. Curcumin Decreases Binding of shiga-like toxin-1B on human Intestinal Epithelial cell line HT 29 Stimulated with, TNF -α and IL-1B: Suppression of p38, JNK and NF – κB P 65 potential Targets. *Biol pharm Bull*. 2006; **29** (7): 1470 – 5
17. Gyles CL. Shiga toxin-producing *Escherichia coli*: An overview. *J Anim Sci*. 2007; **85** 13 suppl: 45- 62.
18. Fujii J, Matsui T, Heatherly DP, Schlegel KH, Lobo PI, Yutsudo T, et al. Rapid apoptosis induced by shiga toxin in HeLa cells. *Infect Immun*. 2003; **71**(5): 2724– 35